

Badanie wycinka mięśniowego w mikroskopie świetlnym i elektronowym

Nr: 143/93

Imię i nazwisko

Wiek: 11

Rozpoznanie : Miopatia

Data pobrania wycinka: 24 XI 93

Włókna różnej średnicy wymieszane nieregularnie tworzą pęczki rozdzielone niewielką ilością tkanki łącznej. Pojedyncze włókna zanikłe o kształcie unregulnym oraz włókna homogenne widoczne są w obrębie pęczków. W nielicznych włóknach widoczne kwasochłonne dwie, o nieregularnym zarysie plaki różniące się nieco innym różowym zabarwieniem niż pozostała część włókna.

W dehydrogenazach widoczne odpowiadające plakom ubytki aktywności enzymów. W barwieniu na ATP-ozy także widoczne ubytki aktywności. Analiza immunohistochemiczna z użyciem dystrofiny 60 KD wykazała intensywne barwienie dystrofiną plak, które uwidocznily się w bardzo licznych włóknach. Ten sam obraz zmniejszonej ilości plak widoczny był przy użyciu desminy.

Desminoplazmatyczne plaki liczne o różnej średnicy i kształcie widoczne były w licznych włóknach.

Wnioski: Obraz odpowiada zmianom pierwotnie mięśniowym z obecnością gromadzenia nieprawidłowo desminy i dystrofiny-desminopatia? Plaque barwią się w dystrofinie 60 KD i 30KD

Przypadek 143/93 (202/93 ME)

1. 11

Rozpoznanie: Miopatia

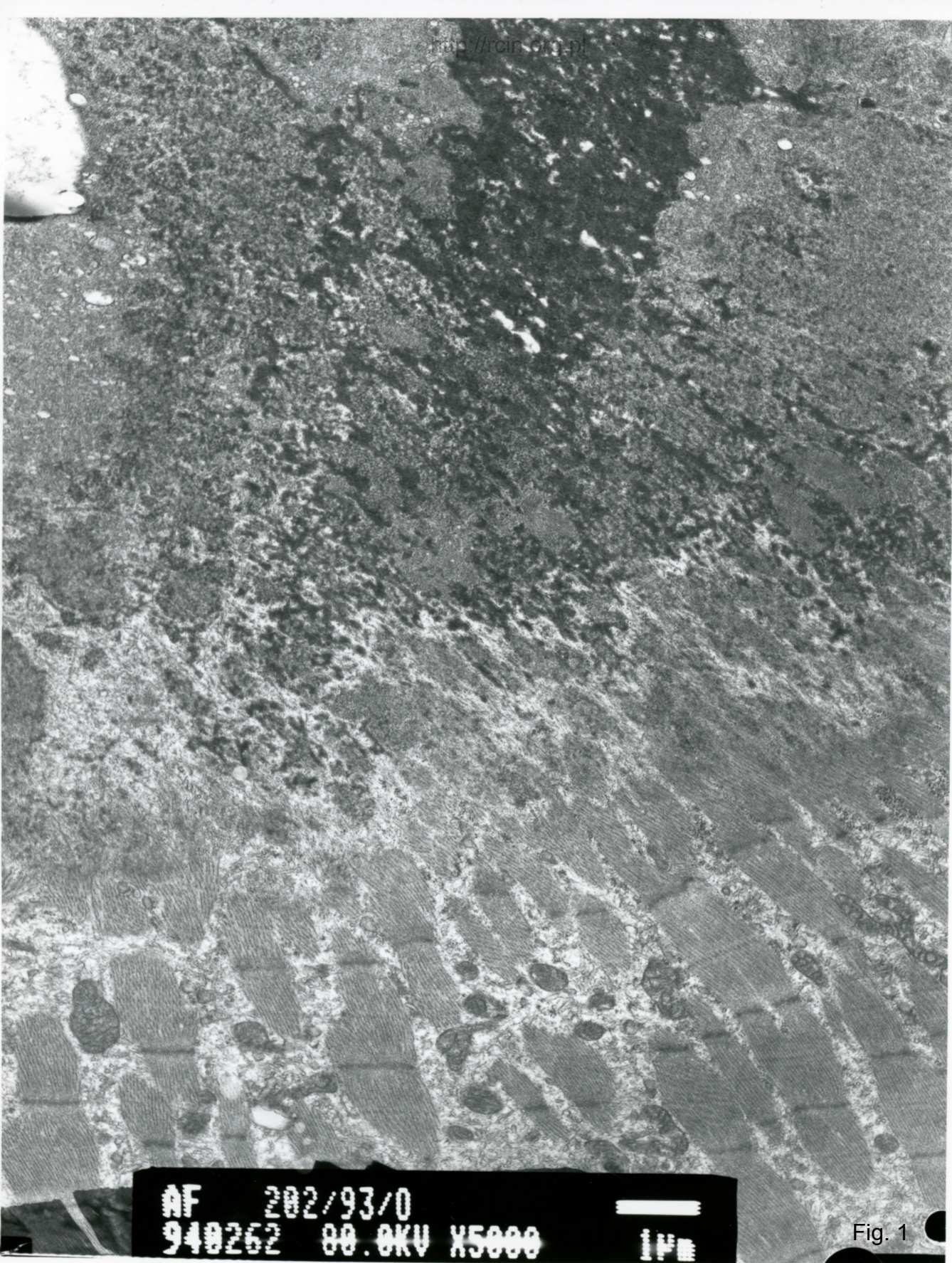
Analiza ultrastrukturalna wykazała zaburzenia w układzie sarkomerów, dezorganizację i zanik miofibryli. Licznie występowały osmofilne drobnowłókienkowe struktury o zróżnicowanej wielkości i kształcie (Fig. 1-6).

Summary

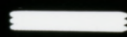
A 11-year-old patient with myopathy was examined. A biopsy of *quadriceps femoris* was performed.

Electronmicroscopy analysis of the biopsy revealed changes in sarcomeres pattern as well as disorganization and atrophy of myofibrils. Osmophilic "plaques" of varying size and shape were abundant (Figs. 1-6).

The microscopic image of the biopsy suggests primary muscular damage.

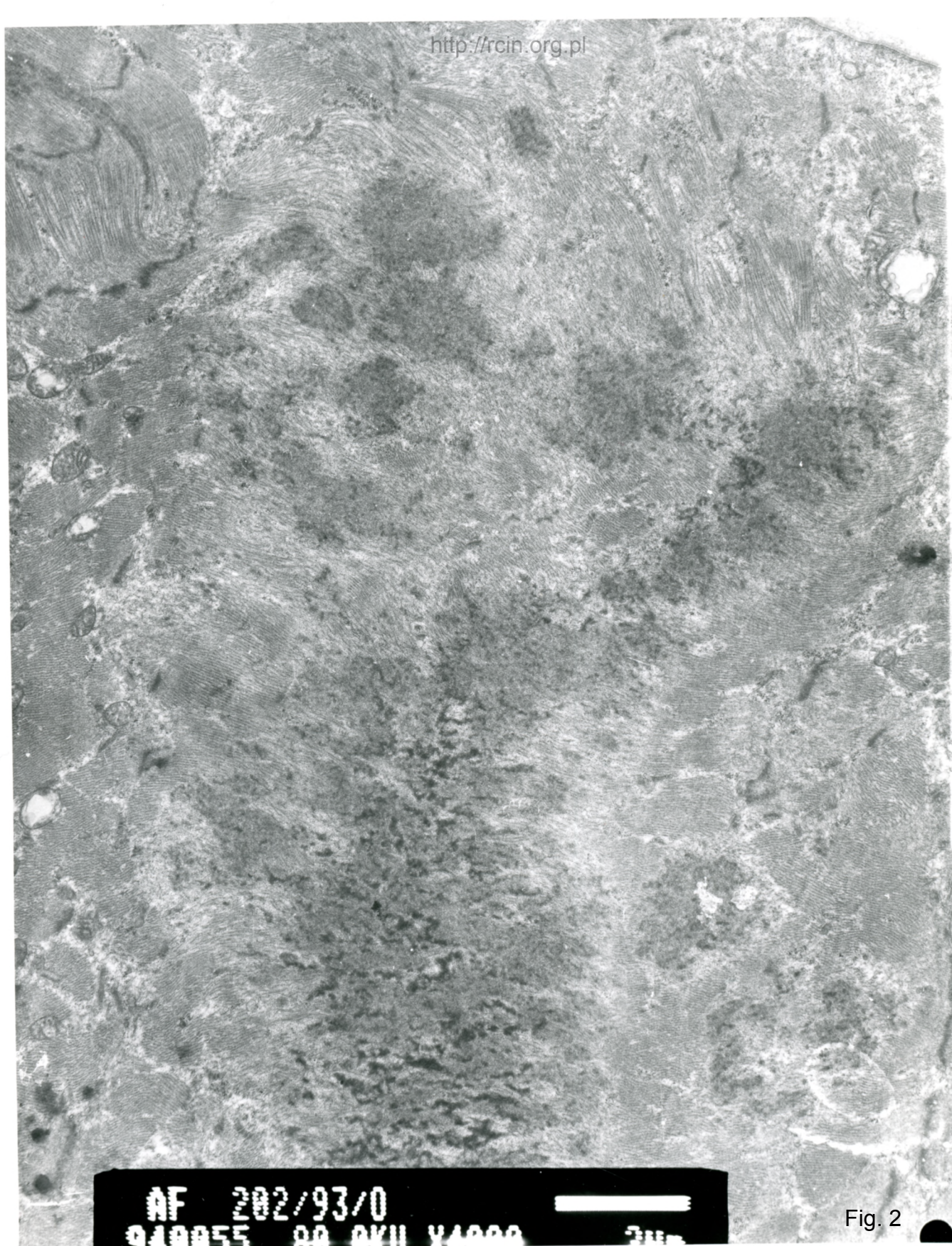


AF 202/93/0
940262 80.0KV X5000



1µm

Fig. 1



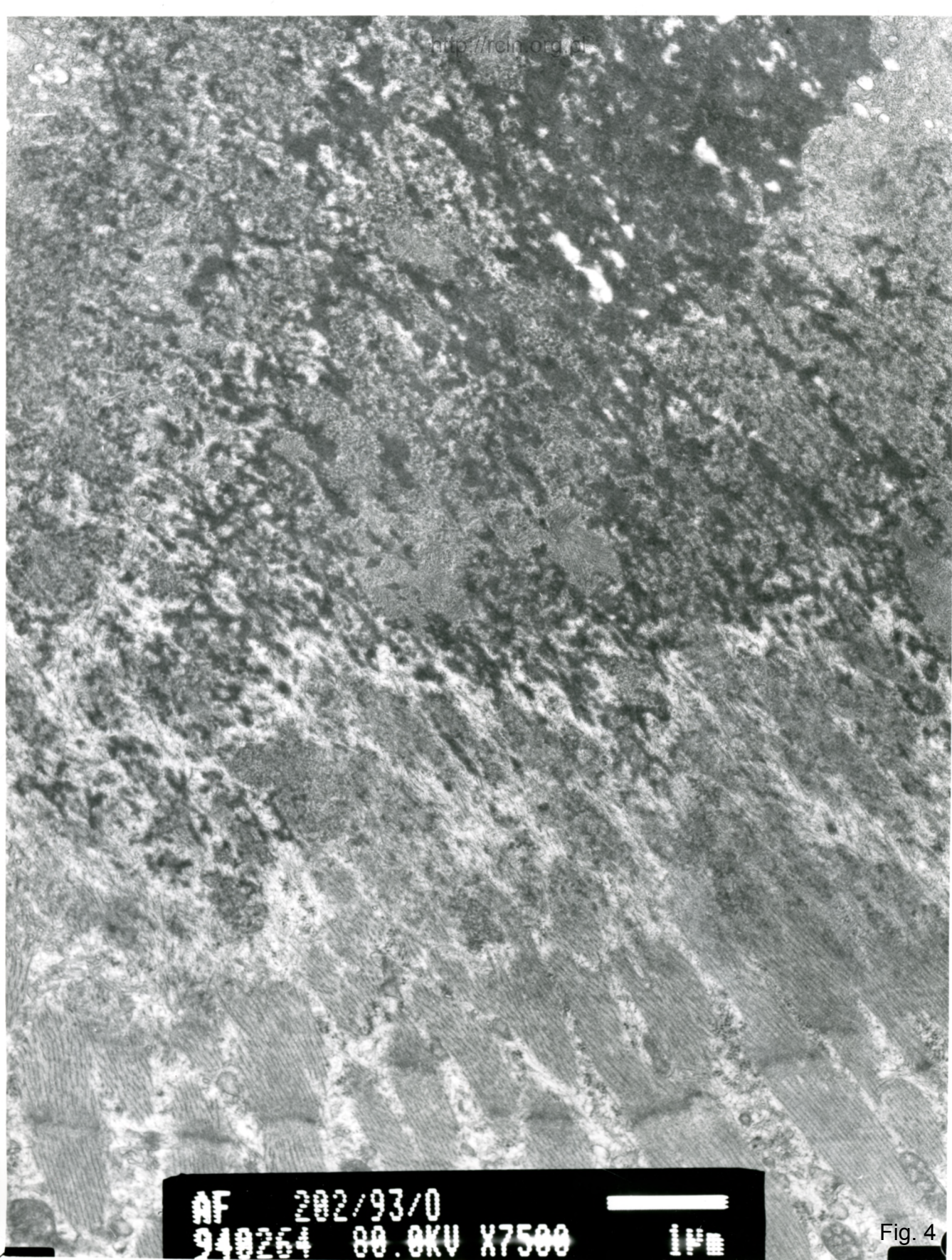
AF 202/93/0
910055 00 OKU Y4000 211

Fig. 2



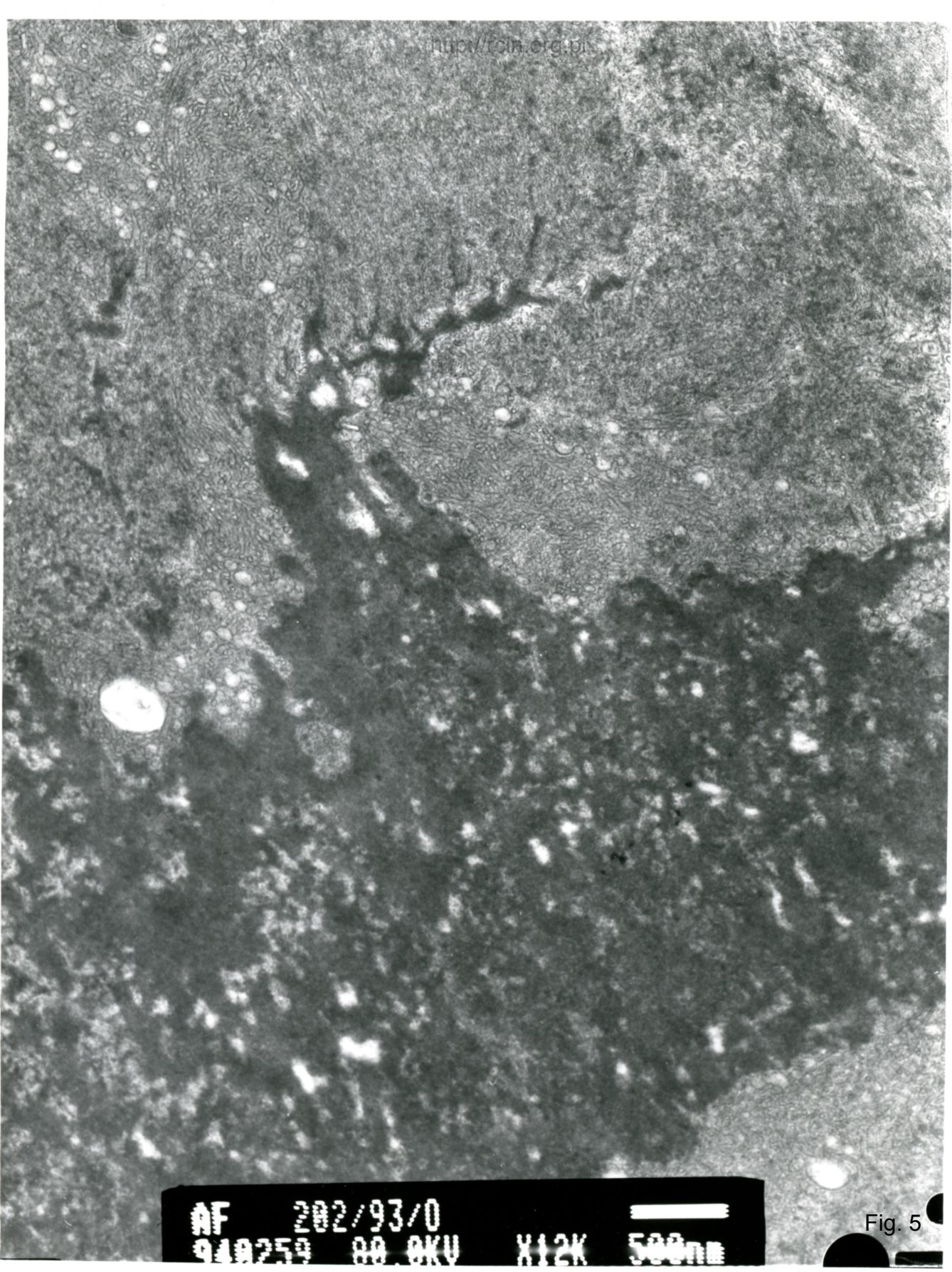
AF 202/93/0
940057 00.0KV X7500 1µm

Fig. 3



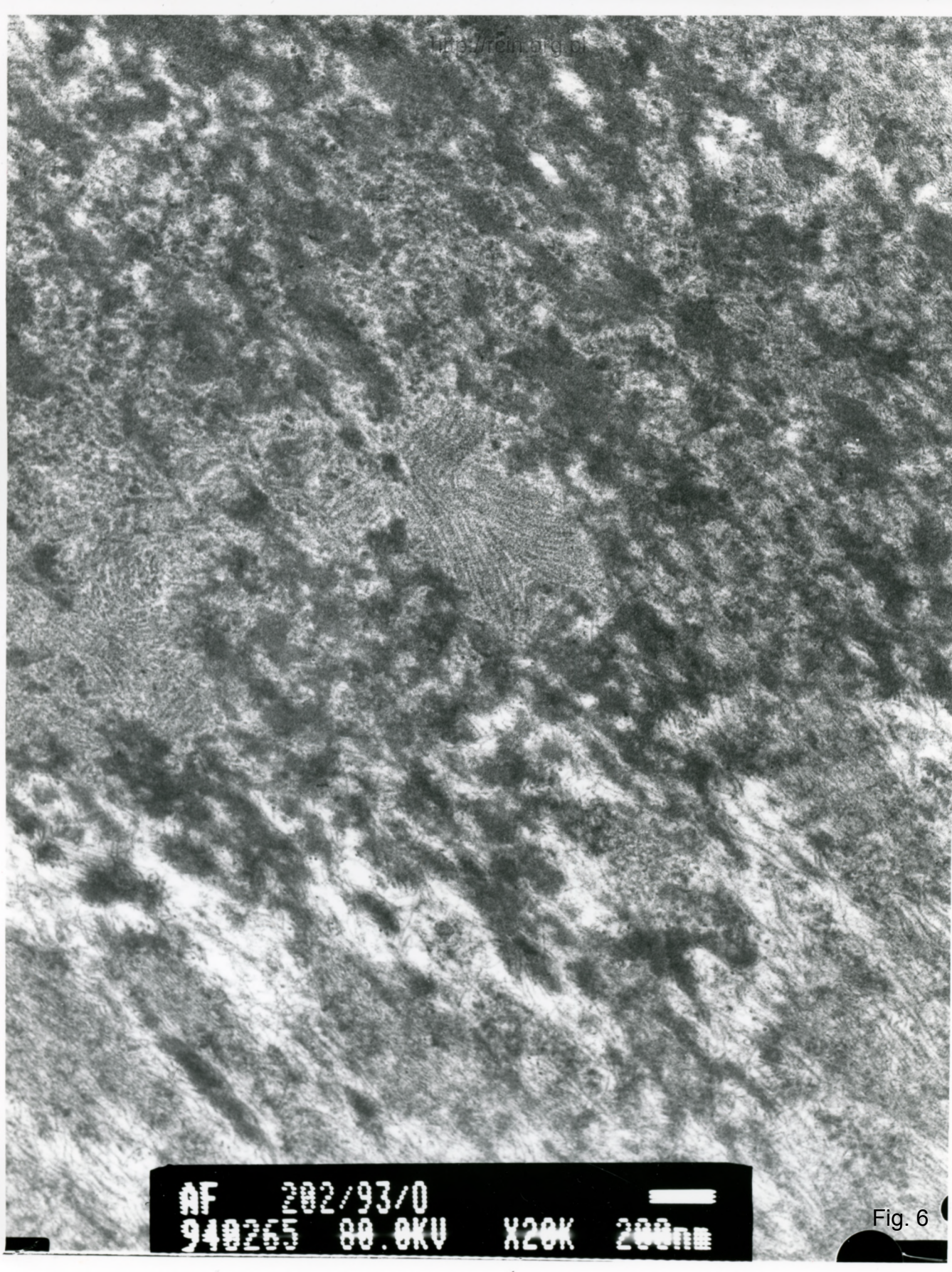
AF 202/93/0
940264 80.0KV X7500 IFM

Fig. 4



AF 202/93/0
940259 00.0KV X12K 500nm

Fig. 5



AF 202/93/0
940265 80.0KV X20K 200nm

Fig. 6